

МЕТОД ДИНАМИЧЕСКОЙ КОМПЕНСАЦИИ В ТЕОРИИ УПРАВЛЕНИЯ¹

Кочетков С.А., Уткин В.А.

Институт проблем управления им. В.А. Трапезникова РАН, Москва, Россия
kos@ipu.ru, vicutkin@ipu.ru

Аннотация. Рассмотрены проблемы компенсации возмущений заданного класса на основе метода динамической компенсации в рамках методов синтеза систем с разделяемыми движениями на основе использования глубоких обратных связей и разрывных управляющих воздействий, позволяющего осуществить многократную декомпозицию задач синтеза систем управления на независимо решаемые подзадачи меньшей размерности. Дается расширение известных результатов на случай нелинейных систем управления и неопределенных моделей генератора возмущений.

Ключевые слова: динамический компенсатор, скользящие режимы, внешние возмущения, декомпозиция.

Введение

В данной работе вводится понятие метода синтеза систем с разделяемыми движениями на основе использования глубоких обратных связей и разрывных управляющих воздействий, позволяющего осуществить многократную декомпозицию задач синтеза систем управления на независимо решаемые подзадачи меньшей размерности.

В случае если возмущающие воздействия удается удовлетворительно описать динамической моделью с известными параметрами и неизвестными начальными условиями, инвариантность обеспечивается на основе метода динамической компенсации [1, 2] и/или асимптотических наблюдателей [3]. Суть данного подхода заключается во введении в контур обратной связи динамического звена, имеющего структуру модели возмущений, с последующим синтезом задачи стабилизации в расширенном пространстве состояний [3]. В разделе 1 приведены основные результаты в теории динамической компенсации возмущений в задаче стабилизации – в подразделе 1.1 с использованием наблюдателя возмущений, а в подразделе 1.2 с использованием динамического компенсатора. Отмечаются трудности реализации метода динамической компенсации, связанные с высокой размерностью задачи и не грубостью к параметрическим неопределенностям.

Эти трудности в какой-то степени удается преодолеть в рамках методов систем с разделяемыми движениями, изложенными в разделе 2, позволяющим декомпонировать задачи синтеза высокой размерности на независимо решаемые подзадачи синтеза собственно объекта управления и выбора динамического компенсатора [4]. Предложены подходы к решению задач динамической компенсации возмущений применительно к нелинейным системам (подраздел 2.1), для случая нестационарной модели возмущений с неизвестными параметрами (подраздел 2.2) и в случае несогласованных возмущений (подраздел 2.3).

В разделе 3 рассмотрена задача управления по высоте БПЛА с подвешенным грузом на пружинной связи.

1. Классические результаты

Рассматривается задача обеспечения инвариантности относительно вектора выходных переменных в классе линейных многомерных стационарных систем вида

$$\dot{x} = Ax + Bu + Q\eta, \quad y = Dx, \quad (1)$$

в предположении, что возмущающие воздействия η недоступны для измерения и порождаются динамической моделью с неизвестными начальными условиями

$$\begin{aligned} \dot{\omega} &= W\omega, \quad \eta = H\omega, \\ \omega &\in R^r, \dim W = (r \times r), \dim H = (l \times r), \end{aligned} \quad (2)$$

где $x \in R^n$, $u \in R^m$, $y \in R^p$, $\eta \in R^l$.

Основная идея метода динамической компенсации заключается во введении в замкнутый контур системы управления динамического звена, имеющего структуру модели возмущений. Если в такой системе подогнать начальные условия динамического компенсатора и модели возмущений, то

¹ Работа выполнена при частичной поддержке Российского Научного Фонда, проект №24–21–20009.

появляется возможность компенсировать воздействие возмущений с помощью выходного сигнала компенсатора. Таким образом, задача обеспечения инвариантности сводится к задаче стабилизации расширенной системы, включающей модель объекта управления (1) и динамический компенсатор возмущений. Отметим, что полная инвариантность в системе (1) достигается лишь после совпадения выходных сигналов модели возмущений и динамического компенсатора и, поскольку в линейных системах эти сигналы сходятся асимптотически, такую инвариантность будем называть асимптотической.

Классический метод динамической компенсации для систем (1), (2) развит в предположении, что возмущающие воздействия действуют на вход системы, т. е. выполнено условие:

$$\text{Im } Q \subset \text{Im } B \Rightarrow \exists \Lambda : Q = B\Lambda, \dim \Lambda = (m \times l).$$

В этом случае система (1) принимает вид

$$\dot{x} = Ax + B(u + \Lambda\eta), \quad y = Dx. \quad (3)$$

В системе (3) выполняются условия инвариантности относительно всего вектора состояний и, следовательно, задача стабилизации вектора состояний имеет решение, что решает и задачу стабилизации выходных переменных. Вообще говоря, задача стабилизации систем (2), (3), в предположении, что вектор состояний доступен для измерения, может быть решена как с использованием теории асимптотических наблюдателей состояния, так и на основе методов теории динамической компенсации. В первом случае ставится задача наблюдения вектора состояний модели возмущений, и далее используются их оценки в комбинированном управлении, в то время, как во втором - динамический компенсатор непосредственно не дает оценки вектора состояний модели возмущений, а решается задача стабилизации расширенной системы. Для иллюстрации указанных особенностей приведем два подхода к синтезу задачи инвариантности систем (2), (3). Хотя два первых из приводимых ниже алгоритма строятся с позиции метода динамической компенсации, легко видеть, что первый из них весьма сходен с методами теории асимптотических наблюдателей. Обобщение метода динамической компенсации возмущений на общий случай линейных систем приведен в третьем пункте данного параграфа. Последний, четвертый алгоритм решает задачу динамической компенсации для случая, когда модель возмущений не стационарна и ее параметры не известны [5].

1.1. Наблюдатель с непосредственной оценкой вектора модели возмущений

Опишем динамический компенсатор уравнениями

$$\dot{z} = (W + LB\Lambda H)z + (LA - WL - LB\Lambda H)x + LBu, \quad (4)$$

где $z \in R^r$ и заметим, что вектор состояния этого динамического компенсатора может служить оценкой переменной $\bar{\eta} = \omega + Lx$, описываемой в силу (2), (3), уравнениями

$$\dot{\bar{\eta}} = (W + LB\Lambda H)\bar{\eta} + (LA - WL - LB\Lambda H)x + LBu.$$

Действительно, уравнение в невязках $\varepsilon = \bar{\eta} - z$ имеет вид $\dot{\varepsilon} = (W + LB\Lambda H)\varepsilon$, и, без ограничения общности полагая пару матриц $(W, B\Lambda H)$ наблюдаемой, заданием матрицы L можно решить задачу стабилизации переменных $\varepsilon \rightarrow 0$. Тогда выбор управляющих воздействий в виде комбинированного управления $u = Fx - \Lambda H(z - Lx)$, в предположении управляемости исходной системы, решает задачу стабилизации вектора состояний системы (3) соответствующим выбором матрицы обратной связи F : $\dot{x} = (A + BF)x + B\Lambda H\varepsilon$.

Порядок предложенного динамического компенсатора равен порядку модели возмущающих воздействий, но при этом решение задачи компенсации возмущений существенно зависит от параметров объекта управления.

1.2. Метод динамической компенсации

С помощью не особой заменой переменных система (1)–(2) приводится к регулярной форме управляемости [4]:

$$\begin{aligned} \dot{x}_1 &= A_{11}x_1 + A_{12}x_2, \\ \dot{x}_2 &= A_{21}x_1 + A_{22}x_2 + B_2u + Q_2\omega, \\ \dot{\omega} &= W\omega, \end{aligned} \quad (5)$$

где $x_1 \in R^{n-m}$, $x_2 \in R^m$, $\text{rank} B_2 = m$.

Сформируем динамический компенсатор в виде

$$\dot{z} = Wz - v, \quad v, z \in R^r \quad (6)$$

и, выбирая управления в виде

$$u = -B_2^{-1}Q_2z + \bar{u}, \quad (7)$$

запишем систему (5) – (6) относительно переменных $x_1, x_2, \varepsilon = \omega - z$

$$\begin{aligned} \dot{x}_1 &= A_{11}x_1 + A_{12}x_2, \\ \dot{x}_2 &= A_{21}x_1 + A_{22}x_2 + B_2\bar{u} + Q_2\varepsilon, \\ \dot{\varepsilon} &= W\varepsilon + v, \end{aligned} \quad (8)$$

Введем замену переменных $\bar{\varepsilon} = \varepsilon + Lx_2$. Тогда уравнение (8) примет вид

$$\begin{aligned} \dot{x}_1 &= A_{11}x_1 + A_{12}x_2, \\ \dot{x}_2 &= A_{21}x_1 + (A_{22} - Q_2L)x_2 + B_2\bar{u} + Q_2\bar{\varepsilon}, \\ \dot{\bar{\varepsilon}} &= (W + LQ_2)\bar{\varepsilon} - WLx_2 + LA_{12}x_1 + L(A_{22} - Q_2L)x_2 + LB_2\bar{u} + v, \end{aligned}$$

Выбирая управления динамического компенсатора и объекта управления как

$$\begin{aligned} v &= -L(F_1x_1 + F_2x_2) + WLx_2, \\ \bar{u} &= -B_2^{-1}(A_{21}x_1 + (A_{22} - Q_2L)x_2 - F_1x_1 - F_2x_2), \end{aligned} \quad (9)$$

получаем замкнутую систему вида

$$\begin{aligned} \dot{x}_1 &= A_{11}x_1 + A_{12}x_2, \\ \dot{x}_2 &= F_1x_1 + F_2x_2 + Q_2\bar{\varepsilon}, \\ \dot{\bar{\varepsilon}} &= (W + LQ_2)\bar{\varepsilon} \end{aligned} \quad (10)$$

и, в силу управляемости и наблюдаемости исходной системы, соответствующим выбором матриц F_1, F_2, L решается задача назначения желаемого спектра системы (10). Отметим, что и в приведенном алгоритме также используется динамический компенсатор размерности модели возмущений и решение задачи инвариантности является не грубым к неопределенностям параметров объекта управления.

2. Метод разделения движений

2.1. Метод динамической компенсации в нелинейных системах

Рассмотрим нелинейную систему вида

$$\begin{aligned} \dot{x} &= f(x) + B(x)u + Q(x)\eta, \quad \dot{\omega} = W\omega, \quad \eta = H\omega \\ x &\in R^n, u \in R^m, \eta \in R^r, f(0) = 0. \end{aligned} \quad (11)$$

Пусть, по-прежнему, выполняется условие инвариантности всего вектора состояний системы (11): $\text{Im } Q(x) \subset \text{Im } B(x), \forall x \Rightarrow \exists \Lambda(x) : Q(x) = B(x)\Lambda(x)$ и представим систему (11) в регулярной форме управляемости [5]

$$\begin{aligned} \dot{x}_1 &= f_1(x_1, x_2), \\ \dot{x}_2 &= f_2(x_1, x_2) + B_2(x_1, x_2)[u + \Lambda_2(x_1, x_2)\omega], \end{aligned} \quad (12)$$

где $x_1 \in R^{n-m}, x_2 \in R^m, u \in R^m, \det B_2 \neq 0$.

Следуя блочному подходу [6], на первом шаге введем замену переменных $\bar{x}_2 = x_2 - \varphi(x_1)$ таким образом, чтобы в преобразованной системе

$$\begin{aligned}\dot{x}_1 &= f_1[x_1, \bar{x}_2 + \varphi(x_1)], \\ \dot{\bar{x}}_2 &= f_2(\cdot) + B_2(\cdot)[u + \Lambda_2(\cdot)\omega] - \frac{\partial\varphi(x_1)}{\partial x_1} \dot{x}_1\end{aligned}\quad (13)$$

в первой подсистеме выбором $\varphi(x_1)$ обеспечивалась ее стабилизация $x_1 \rightarrow 0$ в предположении $\bar{x}_2 = 0$.

На втором шаге следует решить задачу стабилизации второй подсистемы (13) выбором управления в виде

$$B_2(\cdot)u = F_2\bar{x}_2 - \Lambda_2(\cdot)z_2 - f_2(\cdot) - \frac{\partial\varphi(x_1)}{\partial x_1} \dot{x}_1, \quad (14)$$

где

$$\dot{z}_2 = Wz_2 + v_2, \quad v_2, z_2 \in R^r \quad (15)$$

Вторая подсистема (13), замкнута обратной связью (14) с учетом (15) в переменных $\bar{x}_2, \varepsilon_2 = \omega - z_2 + L_2\bar{x}_2$ примет вид

$$\begin{aligned}\dot{\bar{x}}_2 &= F_2\bar{x}_2 + B_2(\cdot)[\Lambda_2(\cdot)\varepsilon_2], \\ \dot{\varepsilon}_2 &= W\varepsilon_2 + L_2\{F_2\bar{x}_2 + B_2(\cdot)[\Lambda_2(\cdot)\varepsilon_2]\} + v_2.\end{aligned}\quad (16)$$

И, наконец, выбирая управления $v_2 = -L_2F_2\bar{x}_2$ и матрицу $L_2 = B_2^{-1}(\cdot)L_{20}$ окончательно имеем

$$\dot{\bar{x}}_2 = F_2\bar{x}_2 + B_2(\cdot)\Lambda_2(\cdot)\varepsilon_2, \quad \dot{\varepsilon}_2 = [W + L_{20}\Lambda_2(\cdot)]\varepsilon_2. \quad (17)$$

Выбор матрицы L_{20} осуществляется таким образом, чтобы обеспечить стабилизацию второй подсистемы (17). Матрица F_2 выбирается гурвицевой, что позволяет решить задачу стабилизации системы (17) последовательно снизу вверх.

Таким образом, задача обеспечения инвариантности в системе (11) высокой размерности свелась к независимому последовательному решению подзадач меньшей размерности, а именно, стабилизация первой подсистемы (12), второй и первой подсистем (17).

Использование методов систем с разделяемыми движениями со скользящими режимами и глубокими обратными связями позволяет также декомпозировать решение задачи стабилизации системы (11) и при этом задача стабилизации подсистемы (17) решается на модальном уровне.

Приведем решение задачи стабилизации системы (11) с использованием теории скользящих режимов.

Применительно ко второй подсистеме (13) сформируем управления в виде $u = v - \Lambda_2(\cdot)\bar{z}_2$, $v = -M(x)\text{sign } \bar{x}_2$, переменные \bar{z}_2 суть вектор состояний динамического компенсатора

$$\dot{\bar{z}}_2 = W\bar{z}_2 + Lv, \quad \bar{z}_2 \in R^r \quad (18)$$

В переменных $\bar{x}_2, \bar{\varepsilon}_2 = \omega - \bar{z}_2 + L_2\bar{x}_2$ последнее уравнение (13) с учетом (18) описывается системой уравнений

$$\begin{aligned}\dot{\bar{x}}_2 &= f_2(\cdot) + B_2(\cdot)[u + \Lambda_2(\cdot)\bar{\varepsilon}_2] - \frac{\partial\varphi(x_1)}{\partial x_1} \dot{x}_1, \\ \dot{\bar{\varepsilon}}_2 &= W\bar{\varepsilon}_2 + Lv.\end{aligned}\quad (19)$$

Тогда, при достаточно больших величинах переменной амплитуды разрывных управления возникают скользящие движения вдоль некоторого многообразия $\bar{x}_2 = x_2 - \varphi(x_1) = 0$ и выбором вектор-функции $\varphi(x_1)$ решается задача стабилизации первой подсистемы (12). Эквивалентное значение управлений в точке равновесия системы $x_1 = x_2 = 0$ равно $v_{eq} = -\Lambda(0,0)\bar{\varepsilon}_2$, $\bar{\varepsilon}_2 = \omega - \bar{z}_2$. Полагая, без ограничения общности, пару матриц $(\Lambda(0), W)$ наблюдаемой, выбором матрицы L обеспечивается стабилизация второй подсистемы (19): $\dot{\bar{\varepsilon}}_2 = (W + L\Lambda(0))\bar{\varepsilon}_2$.

2.2. Случай нестационарной модели возмущений с неизвестными параметрами

Рассмотрим частный случай системы (1) со скалярным входом в предположении, что модель возмущающих воздействий удовлетворяет линейным нестационарным динамическим уравнениям с известными диапазонами изменений их параметров:

$$\dot{x} = Ax + b(u + q\omega), \quad (20)$$

где $x \in R^n$, $u, \omega, y \in R^1$ и возмущение порождается динамической моделью вида

$$L(s)\omega = 0, \quad L(s) = s^\rho + \sum_{i=0}^{\rho-1} g_i(t)s^{(i)}, \quad (21)$$

где s – оператор дифференцирования, $|g(t)| \leq k_i = \text{const}$.

Пусть возмущения воздействуют на входы объекта управления. Тогда система (20) приводится к блочной форме управляемости, аналогичной (8):

$$\begin{aligned} \dot{x}_1 &= A_{11}x_1 + a_{12}x_2, \\ \dot{x}_2 &= a_{21}^T x_1 + a_{22}x_2 + b_2u + q_2\omega. \end{aligned} \quad (22)$$

Следующая процедура дает решения задачи динамической компенсации возмущений в системе (21), (22).

Из предположения об управляемости исходной системы следует управляемость пары (A_{11}, a_{12}) . Следовательно, система (22) неособой заменой переменных $\bar{x}_2 = x_2 - f_1^T x_1$ сводится к системе вида

$$\begin{aligned} \dot{x}_1 &= (A_{11} + a_{12}f_1^T)x_1 + a_{12}\bar{x}_2, \\ \dot{\bar{x}}_2 &= \bar{a}_{21}^T x_1 + \bar{a}_{22}x_2 + b_2u + q_2\omega, \end{aligned} \quad (23)$$

причем собственные движения первой подсистемы выбором вектор строки f_1^T назначаются произвольным образом и, следовательно, задача стабилизации системы (23) сводится к стабилизации второй подсистемы.

Если выбрать управления в виде $b_2u = -\bar{a}_{21}^T x_1 - \bar{a}_{22}\bar{x}_2 + \bar{u}$ то вторая подсистема (23) примет вид:

$$\dot{\bar{x}}_2 = \bar{u} + q_2\omega \quad (24)$$

Таким образом, исходная задача свелась к задаче динамической компенсации возмущений в системе (24) с учетом (21).

Для ее решения положим $\bar{u} = z$, где z является вектором состояний динамического компенсатора вида

$$\begin{aligned} L_c(s)z &= -v, \\ L_c(s) &= s^\rho + \sum_{i=0}^{\rho-1} d_i s^{(i)}, \quad d_i = \text{const}. \end{aligned} \quad (25)$$

Расширим пространство переменных системы (25) за счет введения координат

$$\begin{aligned} \bar{x}_3 &= z + q_2\omega, \\ \bar{x}_4 &= \dot{z} + q_2\dot{\omega}, \\ &\dots \\ \bar{x}_{\rho+2} &= z^{(\rho-1)} + q_2\omega^{(\rho-1)}. \end{aligned} \quad (26)$$

Расширенная система (24) с учетом (26) принимает вид:

$$\begin{aligned} \dot{\bar{x}}_i &= \bar{x}_{i+1}, \quad i = \overline{2, \rho+1} \\ \dot{\bar{x}}_{\rho+2} &= \sum_{i=0}^{\rho-1} [d_i - g_i(t)]z^{(i)} + \sum_{i=0}^{\rho-1} \bar{x}_{i+3} + v, \end{aligned} \quad (27)$$

где выражение в правой части последнего уравнения получено из соотношений (21) и (26) после подстановки выражений $q_2\omega^{(i)} = \bar{x}_{i+3} - z^{(i)}$, $i = \overline{0, \rho-1}$, получаемых из уравнений (26).

Задача стабилизации системы (26), в силу ограниченности коэффициентов $|g_i(t)| \leq k_i$, может быть решена в рамках систем с разрывными управлениями

$$v = -M \text{sign}(s) \quad (28)$$

за счет организации скользящего режима по плоскости скольжения

$$s = \bar{x}_{\rho+2} + \sum_{i=2}^{\rho+1} C_i \bar{x}_i = 0$$

описываемого уравнениями метода эквивалентного управления

$$\dot{\bar{x}}_i = \bar{x}_{i+1}, \quad \dot{\bar{x}}_{\rho+1} = \sum_{i=2}^{\rho+1} C_i \bar{x}_i.$$

которые определяются выбором коэффициентов C_i и инвариантны к возмущениям. Существенно для практики, что амплитуды разрывных управлений, в силу того, что условий существования скользящих режимов имеют форму неравенств, являются ограниченными величинами. В тоже время, использование систем с глубокими обратными связями для организации медленных движений по заданному многообразию в решении этой задачи с неизбежностью потребует бесконечных коэффициентов усиления в цепи обратной связи.

Предложенная схема построения инвариантных систем, за счет использования канонического представления и методов теории скользящих режимов, позволяет обеспечить свойства грубости систем как к параметрам модели объекта управления, так и к описанию модели возмущающих воздействий.

Отметим, что для реализации алгоритма управления на скользящих режимах (28) требуется найти производные от переменной (24) высокого порядка.

3. Приложение к управлению БПЛА

Рассмотрим результаты моделирования синтезированного закона управления для движения летательного аппарата с подвешенным на пружине грузом в вертикальной плоскости (см. рис. 1).

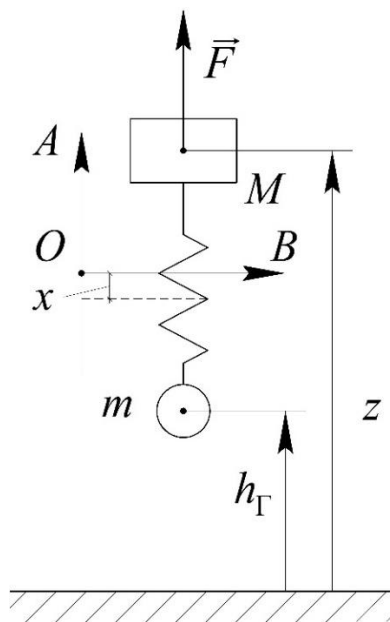


Рис. 1. Схема объекта управления

Математическая модель объекта записывается в виде

$$\begin{aligned}
\dot{z} &= v_z, \\
\dot{v}_z &= \frac{k}{M}x + \frac{\alpha_s}{M}v_x - g - \frac{\alpha_c}{M}v_z + \frac{F}{M}, \\
\dot{x} &= v_x, \\
\dot{v}_x &= -\frac{k(m+M)}{Mm}x - \frac{\alpha_s(m+M)}{Mm}v_x + \frac{\alpha_c}{M}v_z - \frac{F}{M},
\end{aligned} \tag{29}$$

где z, v_z – координата центра масс летательного аппарата и его скорость, x, v_x – деформация пружины и скорость изменения деформации пружины, OB – линия нулевой деформации пружины, OA – направление положительной деформации пружины, α_c – коэффициент вязкого трения среды для летательного аппарата, α_s – коэффициент, учитывающий влияние потерь в пружине и сопротивление движению подвешенного тела, m, M – массы подвешенного тела и летательного аппарата соответственно, k – жесткость пружины, $h_T = z - c + x$ – высота подвешенного груза над поверхностью земли, c – расстояние от центра масс летательного аппарата до центра масс подвешенного груза при отсутствии деформации в пружине, F – модуль вектора тяговой силы в вертикальном направлении.

Ставится задача стабилизации положения летательного аппарата на заданной постоянной высоте (задача регулирования)

$$\lim_{t \rightarrow \infty} |z(t) - z_d| = \lim_{t \rightarrow \infty} |\bar{z}(t)| = 0, \quad \bar{z}(t) = z(t) - z_d, \quad z_d = \text{const} > 0 \tag{30}$$

в предположении, что измерению доступны только положение и скорость летательного аппарата.

С помощью замены координат

$$\begin{pmatrix} z \\ v_z \\ y \\ v_y \end{pmatrix} = \begin{pmatrix} 1 & 0 & 0 & 0 \\ 0 & 1 & 0 & 0 \\ 1 & 0 & 1 & 0 \\ 0 & 1 & 0 & 1 \end{pmatrix} \begin{pmatrix} z \\ v_z \\ x \\ v_x \end{pmatrix}$$

преобразуем систему (29) к следующему виду

$$\begin{aligned}
\dot{z} &= v_z, \\
\dot{v}_z &= -\frac{k}{M}z - \frac{\alpha_s + \alpha_c}{M}v_z + \frac{k}{M}y + \frac{\alpha_s}{M}v_y - g + \frac{F}{M}, \\
\dot{y} &= v_y, \\
\dot{v}_y &= \frac{k}{m}z + \frac{\alpha_s}{m}v_z - \frac{k}{m}y - \frac{\alpha_s}{m}v_y - g.
\end{aligned}$$

Эти уравнения с учетом (30) могут быть представлены в форме

$$\begin{aligned}
\dot{\bar{z}} &= v_z, \\
\dot{v}_z &= -\frac{k}{M}\bar{z} - \frac{\alpha_s + \alpha_c}{M}v_z + \frac{k}{M}y + \frac{\alpha_s}{M}v_y - g - \frac{k}{M}z_d + \frac{F}{M}, \\
\dot{y} &= v_y, \\
\dot{v}_y &= \frac{k}{m}\bar{z} + \frac{\alpha_s}{m}v_z - \frac{k}{m}y - \frac{\alpha_s}{m}v_y - g + \frac{k}{m}z_d.
\end{aligned} \tag{31}$$

В рамках предлагаемого подхода неизмеряемые переменные состояния y, v_y могут трактоваться как возмущения. Учитывая, что во втором и четвертом уравнении системы действуют постоянные слагаемые $-g - \frac{k}{M}z_d$ и $-g + \frac{k}{m}z_d$ полная модель возмущений согласно (31) может быть представлена как

$$\dot{\omega} = W\omega + B_e e, \tag{32}$$

где $\omega = (\omega_1 \ \omega_2 \ \omega_3 \ \omega_4)^T = (g \ z_d \ y \ v_y)^T$, $W = \begin{pmatrix} 0 & 0 & 0 & 0 \\ 0 & 0 & 0 & 0 \\ 0 & 0 & 0 & 1 \\ -1 & \frac{k}{m} & -\frac{k}{m} & -\frac{\alpha_s}{m} \end{pmatrix}$, $e = (\bar{z} \ v_z)^T$,

$$B_e = \begin{pmatrix} 0 & 0 \\ 0 & 0 \\ 0 & 0 \\ \frac{k}{m} & \frac{\alpha_s}{m} \end{pmatrix}.$$

С учетом (31)–(32) математическая модель системы может быть записана в виде подобном (5)

$$\begin{aligned} \dot{\bar{z}} &= v_z, \\ \dot{v}_z &= -\frac{k}{M}\bar{z} - \frac{\alpha_s + \alpha_c}{M}v_z + Q\omega + \frac{F}{M}, \\ \dot{\omega} &= W\omega + B_e e, \end{aligned} \quad (33)$$

где $Q = \begin{pmatrix} -1 & -\frac{k}{M} & \frac{k}{M} & \frac{\alpha_s}{M} \end{pmatrix}$.

Отличием системы (33) от представления (5) является то, что подсистема для возмущений неавтономна (присутствуют слагаемые $B_e e$, ξ). Однако, как будет показано далее, это не меняет предлагаемого подхода к синтезу обратной связи.

Непосредственной проверкой с помощью линейных преобразований может быть показано, что пара (W, Q) ненаблюдаема, т.к.

$$\begin{aligned} \text{rank} \begin{pmatrix} Q \\ QW \\ QW^2 \\ QW^3 \end{pmatrix} &= \text{rank} \begin{pmatrix} -1 & -\frac{k}{M} & \frac{k}{M} & \frac{\alpha_s}{M} \\ -\frac{\alpha_s}{M} & \frac{\alpha_s k}{Mm} & -\frac{\alpha_s k}{Mm} & -\frac{\alpha_s^2 + km}{Mm} \\ \frac{\alpha_s^2 - km}{Mm} & \frac{k(-\alpha_s^2 + km)}{Mm^2} & \frac{k(\alpha_s^2 - km)}{Mm^2} & \frac{\alpha_s(\alpha_s^2 - 2km)}{Mm^2} \\ \frac{\alpha_s(-\alpha_s^2 + 2km)}{Mm^2} & \frac{\alpha_s k(\alpha_s^2 - 2km)}{Mm^3} & \frac{\alpha_s k(-\alpha_s^2 + 2km)}{Mm^3} & \frac{(-\alpha_s^4 + 3\alpha_s^2 km - k^2 m^2)}{Mm^3} \end{pmatrix} = \\ &= \text{rank} \begin{pmatrix} -1 & -\frac{k}{M} & \frac{k}{M} & \frac{\alpha_s}{M} \\ -\frac{\alpha_s}{M} & \frac{\alpha_s k}{Mm} & -\frac{\alpha_s k}{Mm} & -\frac{\alpha_s^2 + km}{Mm} \\ 0 & 0 & 0 & -\frac{k^2 m}{M(\alpha_s^2 - km)} \\ 0 & 0 & 0 & 0 \end{pmatrix} = \text{rank} \begin{pmatrix} -1 & -\frac{k}{M} & \frac{k}{M} & \frac{\alpha_s}{M} \\ 0 & \frac{\alpha_s k(M+m)}{M^2 m} & -\frac{\alpha_s k(M+m)}{M^2 m} & -\frac{\alpha_s^2(M+m)}{M^2 m} + \frac{k}{M} \\ 0 & 0 & 0 & -\frac{k^2 m}{M(\alpha_s^2 - km)} \\ 0 & 0 & 0 & 0 \end{pmatrix} = 3 \end{aligned}$$

Система (33) с помощью замены переменных

$$\xi = H\omega, \quad H = \begin{pmatrix} Q \\ QW \\ QW^2 \\ H_4 \end{pmatrix}, \quad H_4 = (0 \ 1 \ 0 \ 0), \quad \xi = (\xi_1 \ \xi_2 \ \xi_3 \ \xi_4)^T$$

преобразуется к представлению

$$\begin{aligned} \dot{\bar{z}} &= v_z, \\ \dot{v}_z &= -\frac{k}{M}\bar{z} - \frac{\alpha_s + \alpha_c}{M}v_z + \xi_1 + \frac{F}{M}, \\ \dot{\xi} &= \tilde{W}\xi + \tilde{B}_e e, \end{aligned} \quad (34)$$

$$\text{где } \tilde{W} = HWH^{-1} = \begin{pmatrix} 0 & 1 & 0 & 0 \\ 0 & 0 & 1 & 0 \\ 0 & -\frac{k}{m} & -\frac{\alpha_s}{m} & 0 \\ 0 & 0 & 0 & 0 \end{pmatrix}, \tilde{B}_e = HB_e = \begin{pmatrix} \frac{\alpha_s k}{Mm} & \frac{\alpha_s^2}{Mm} \\ \frac{k(-\alpha_s^2 + km)}{Mm^2} & \frac{\alpha_s(-\alpha_s^2 + km)}{Mm^2} \\ \frac{\alpha_s k(\alpha_s^2 - 2km)}{Mm^3} & \frac{\alpha_s^2(\alpha_s^2 - 2km)}{Mm^3} \\ 0 & 0 \end{pmatrix}.$$

В представлении (34) выделено ненаблюдаемое подпространство относительно переменной ξ_4 . При синтезе обратной связи на основе динамического компенсатора данная переменная не влияет на ошибку выходной переменной, поэтому динамический компенсатор строится относительно наблюдаемых компонент $\xi^* = (\xi_1 \ \xi_2 \ \xi_3)^T$ вектора состояния возмущений ξ . Наблюдаемость пары (W^*, Q^*) проверяется непосредственной подстановкой

$$\text{rank} \begin{pmatrix} Q^* \\ Q^* W^* \\ Q^* (W^*)^2 \end{pmatrix} = \text{rank} \begin{pmatrix} 1 & 0 & 0 \\ 0 & 1 & 0 \\ 0 & 0 & 1 \end{pmatrix} = 3.$$

$$\text{где } W^* = \begin{pmatrix} 0 & 1 & 0 \\ 0 & 0 & 1 \\ 0 & -\frac{k}{m} & -\frac{\alpha_s}{m} \end{pmatrix}, Q^* = (1 \ 0 \ 0).$$

В принятых обозначениях

$$\dot{\xi}^* = W^* \xi^* + B_e^* e, B_e^* = \begin{pmatrix} \frac{\alpha_s k}{Mm} & \frac{\alpha_s^2}{Mm} \\ \frac{k(-\alpha_s^2 + km)}{Mm^2} & \frac{\alpha_s(-\alpha_s^2 + km)}{Mm^2} \\ \frac{\alpha_s k(\alpha_s^2 - 2km)}{Mm^3} & \frac{\alpha_s^2(\alpha_s^2 - 2km)}{Mm^3} \end{pmatrix}. \quad (35)$$

Действительно, выберем управляющее воздействие согласно (7)

$$F = -MQ^* s + M\bar{u} \quad (36)$$

с динамическим компенсатором согласно (35)

$$\dot{s} = W^* s + B_e^* e - v \quad (37)$$

Замкнутая система в соответствии с (36)–(37)

$$\begin{aligned} \dot{\bar{z}} &= v_z, \\ \dot{v}_z &= -\frac{k}{M} \bar{z} - \frac{\alpha_s + \alpha_c}{M} v_z + Q^* \varepsilon + \bar{u}, \\ \dot{\varepsilon} &= W\varepsilon + v, \end{aligned} \quad (38)$$

где $\varepsilon = \xi^* - s$.

Выбирая управления \bar{u}, v из выражения (9)

$$\begin{aligned} v &= -LKe + W^* Lv_z, \\ \bar{u} &= \frac{k}{M} \bar{z} + \left(\frac{\alpha_s + \alpha_c}{M} + Q^* L \right) v_z + Ke, \end{aligned} \quad (39)$$

получим уравнения замкнутой системы согласно (38)–(39)

$$\begin{aligned}\dot{\bar{z}} &= v_z, \\ \dot{v}_z &= Ke + Q^*(\varepsilon + Lv_z), \\ \dot{\varepsilon} &= W^*\varepsilon - LKe + W^*Lv_z,\end{aligned}$$

где $L = (L_1 \ L_2 \ L_3)^T$, $K = (K_1 \ K_2)^T$ – матрицы с постоянными коэффициентами.

Вводя новую переменную $\bar{\varepsilon} = \varepsilon + Lv_z$, перепишем последнюю систему в виде

$$\begin{aligned}\dot{\bar{z}} &= v_z, \\ \dot{v}_z &= Ke + Q^*\bar{\varepsilon}, \\ \dot{\bar{\varepsilon}} &= (W^* + LQ^*)\bar{\varepsilon}.\end{aligned}$$

В силу наблюдаемости пары (W^*, Q^*) сходимость переменной $\bar{\varepsilon}$ может быть назначена желаемым образом.

Для численного эксперимента выберем параметры, представленные в таблице 1.

Таблица 1. Численные значения параметров объекта управления, принятые при моделировании

Параметр	Значение
k , [Н/м]	200
α_s , [(Н·с)/м]	0.5
α_c , [(Н·с)/м]	2
m , [кг]	2
M , [кг]	3
c , [м]	2
a_2	10
a_1	31
a_0	30
$z(t_0)$, [м]	20
$v(t_0)$, [м/с]	0
$x(t_0)$, [м]	-0.0981
$v_x(t_0)$, [м/с]	0
z_d , [м]	20

Характеристический полином матрицы $W^* + LQ^*$

$$p^3 + \frac{(\alpha_s - L_1 m)}{m} p^2 + \frac{(-\alpha_s L_1 + k - L_2 m)}{m} p + \frac{(-\alpha_s L_2 - k L_1 - L_3 m)}{m} = 0. \quad (40)$$

Выберем матрицу L , чтобы назначить его коэффициенты в соответствии с эталонным уравнением

$$p^3 + a_2 p^2 + a_1 p + a_0 = 0. \quad (41)$$

с коэффициентами из таблицы 1

$$p^3 + a_2 p^2 + a_1 p + a_0 = 0$$

и корнями уравнения

$$p_1 = -2, \quad p_2 = -3, \quad p_3 = -5.$$

Согласно рассуждениям из (40)–(41) получаем

$$\alpha_s - L_1 m = 10m, \quad -\alpha_s L_1 + k - L_2 m = 31m, \quad -\alpha_s L_2 - k L_1 - L_3 m = 30m$$

Подставляя значения параметров из таблицы 1, вычислим коэффициенты обратной связи динамического компенсатора

$$L_1 = \frac{\alpha_s}{m} - 10 = -9.75;$$

$$L_2 = -\frac{\alpha_s}{m} \left(\frac{\alpha_s}{m} - 10 \right) + \frac{k}{m} - 31 = 71.438;$$

$$L_3 = -\frac{\alpha_s}{m} \left(-\frac{\alpha_s}{m} \left(\frac{\alpha_s}{m} - 10 \right) + \frac{k}{m} - 31 \right) - \frac{k}{m} \left(\frac{\alpha_s}{m} - 10 \right) - 30 = 927.141.$$

Принимается следующая матрица обратной связи K в управлениях (39)

$$K = (-1 \quad -2),$$

чтобы назначить постоянные времени

$$\tau_1 = \tau_2 = 1 \text{ с}^{-1}$$

в подсистеме относительно вектора e .

Результаты моделирования системы (29) с динамической обратной связью (36)–(37), (39) и начальными условиями из таблицы 1 представлены на рис. 2, 3.

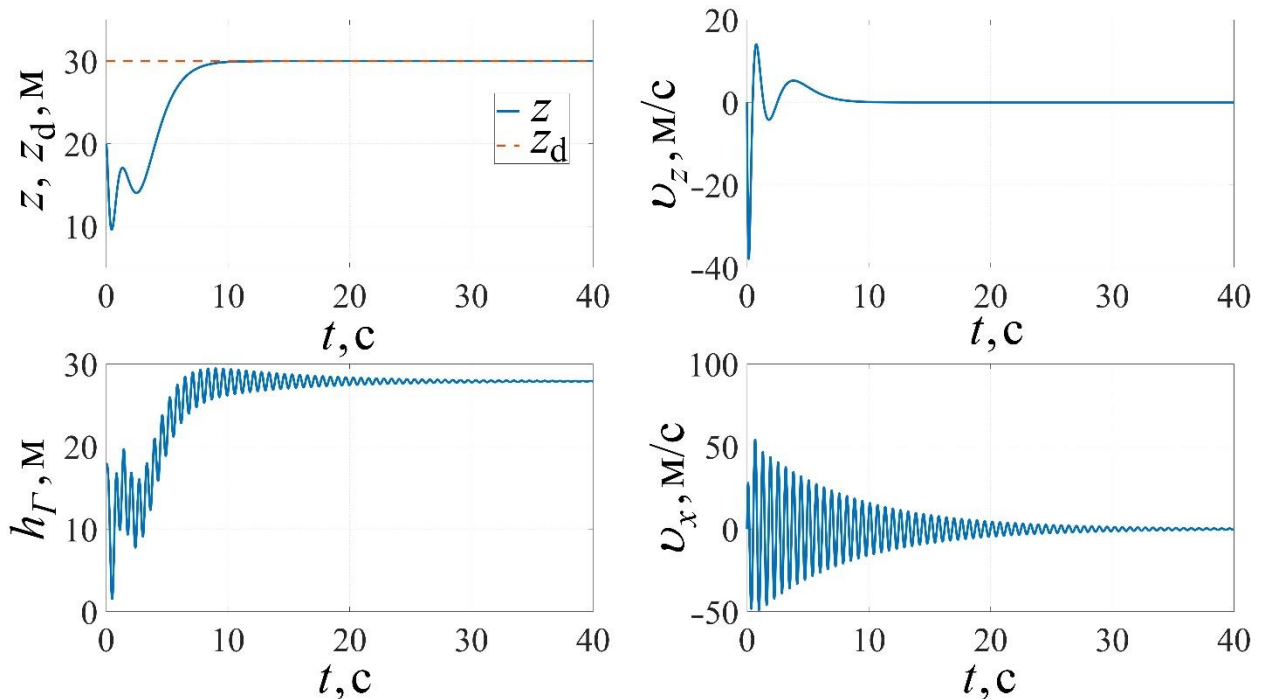


Рис. 2. Переходные процессы для переменных состояния системы (29)

Как видно из рис. 3 текущая высота положения летательного аппарата сходится к желаемому значению, а компоненты вектора s динамического компенсатора к соответствующим компонентам вектора возмущений ξ^* . Отметим, что несмотря на сходимость выходной переменной к нулю управляющее воздействие F содержит затухающую колебательную составляющую (см. рис. 3). Обусловлено это тем, что с помощью управления компенсируется колебания переменных x, v_x , скорость затухания которых определяется коэффициентом α_s . Закон управления (36)–(37), (39) синтезировался без коррекции этого затухания, и по этой причине мы имеем «длинный хвост» в переходном процессе (см. рис. 2, 3). Однако в силу управляемости исходной системы (29) за счет коррекции с помощью компоненты v_z (см. систему (31)) можно было бы скорректировать демпфирование компонент x, v_x , а, следовательно, и длину указанного «хвоста».

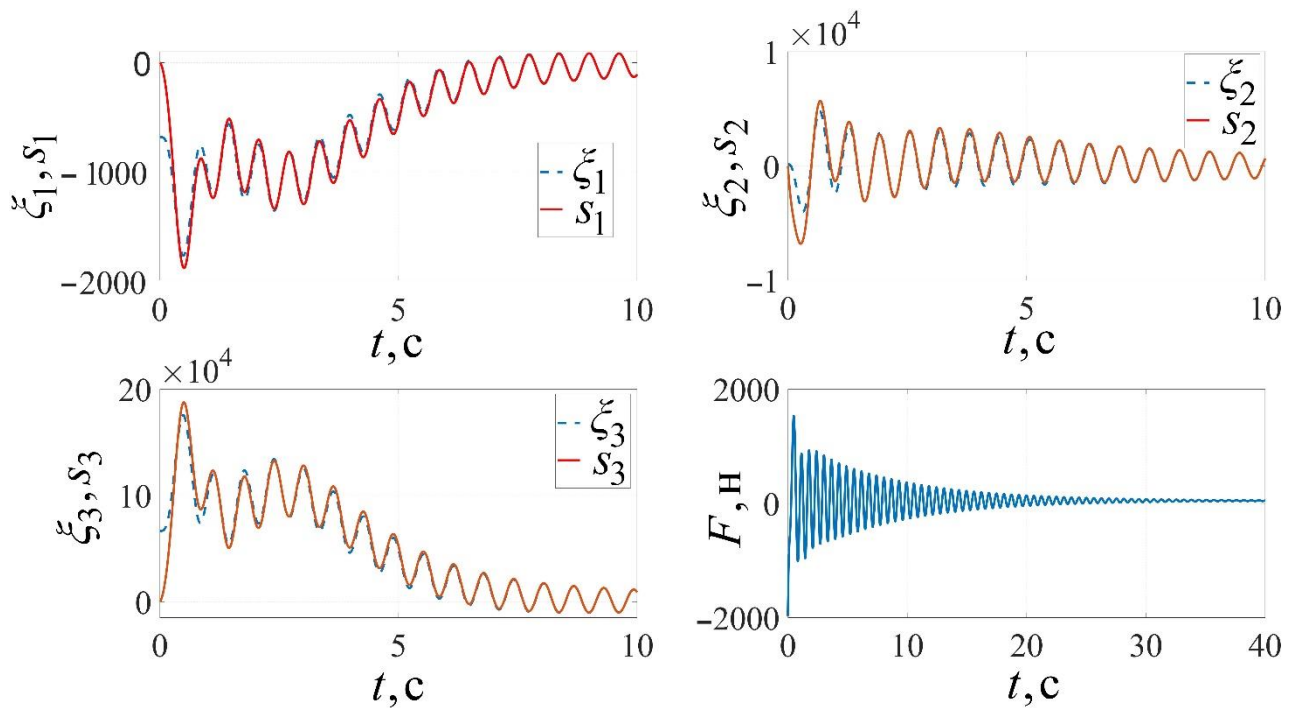


Рис. 3. Переходные процессы для компонент вектора возмущений (34) и динамического компенсатора (37)

4. Заключение

Предложены методы декомпозиции в задаче динамической компенсации внешних возмущений заданного класса. Использование методов синтеза систем с разделяемыми движениями в рамках теории скользящих режимов и глубоких обратных связей позволило расширить известные методы динамической компенсации на класс нелинейных систем и обеспечить робастные свойства как в условиях неопределенности модели объекта управления, так и генератора возмущений. Отметим, что рассмотренный пример управления БПЛА с колебательной нагрузкой, которую можно рассматривать как часть модели объекта управления, так и как внешнее возмущения показывает возможности расширения задач динамической компенсации внешних возмущений на задачи, где в качестве генератора заданий рассматривается часть модели объекта управления. Вместе с предложенными в данной работе декомпозиционными методами такой подход позволяет также декомпозировать процедуру синтеза обратной связи на подзадачи меньшей размерности.

Литература

1. Кулебакин В. С. К теории автоматических вибрационных регуляторов электрических машин // Теоретическая и экспериментальная электротехника. 1932. № 4. – с. 3–21.
2. Schumacher J. M. Compensator synthesis using (C, A, B,-)pairs // IEEE Trans. Automat. Control. – 1980. Vol. AC-7.
3. Уткин В. А. Метод разделения движений в задачах наблюдения. - Автоматика и Телемеханика, 1990, № 3, с.27-37.
4. Уткин В. А., Уткин В. И. Метод разделения в задачах инвариантности // Автоматика и Телемеханика. 1983. № 12. – С. 39–48.
5. Лукьянов А.Г., Уткин В.И. Методы сведения уравнений динамических систем к регулярной форме // Автоматика и телемеханика. 1981. № 4. – С. 5–13.
6. Дракунов С.В., Изосимов Д.Б., Лукьянов А.Г., Уткин В.А., Уткин В.И. Принцип блочного управления. Часть 1 // Автоматика и Телемеханика. 1990. № 5. – С. 38–47.